

Hodgkin-Huxley神经元模型

神经元结构

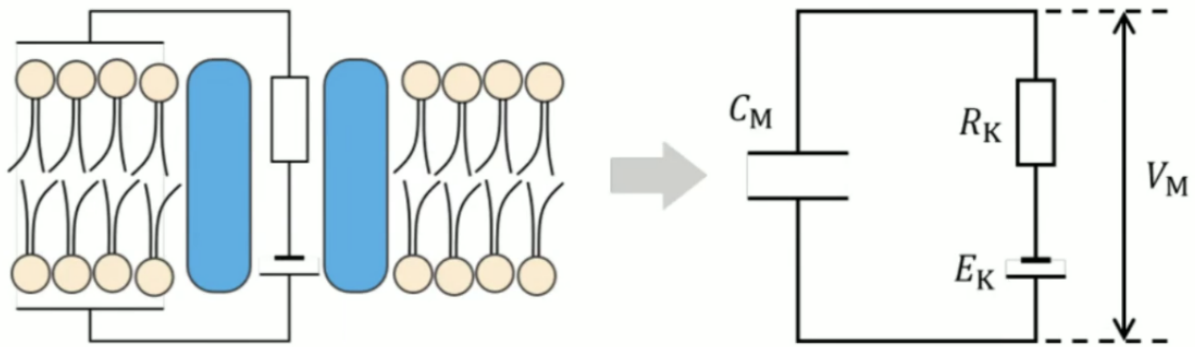
- 胞体
- 树突
- 轴突
- 突触

静息电位

- 静息电位的产生
 - 由于膜内外离子不均匀分布，离子浓度梯度导致离子发生移动，离子的移动产生电势差，当膜内外产生的电势差对离子的作用等于浓度梯度对离子的作用，方向相反时，此时膜内外的电势差为静息电位
- 生物学基础
 - 离子通道
 - 不耗能
 - 门控/非门控
 - 离子顺浓度梯度转运
 - 离子泵
 - 耗能
 - 离子逆浓度梯度转运
- 静息电位计算公式
 - 能斯特方程
 - $E = \frac{RT}{zF} \ln \frac{[ion]_{out}}{[ion]_{in}}$
 - Goldman-Hodgkin-Katz方程
 - $V_m = \frac{RT}{F} \ln \left(\frac{P_{Na}[Na^+]_{out} + P_K[K^+]_{out} + P_{Cl}[Cl^-]_{in}}{P_{Na}[Na^+]_{in} + P_K[K^+]_{in} + P_{Cl}[Cl^-]_{out}} \right)$

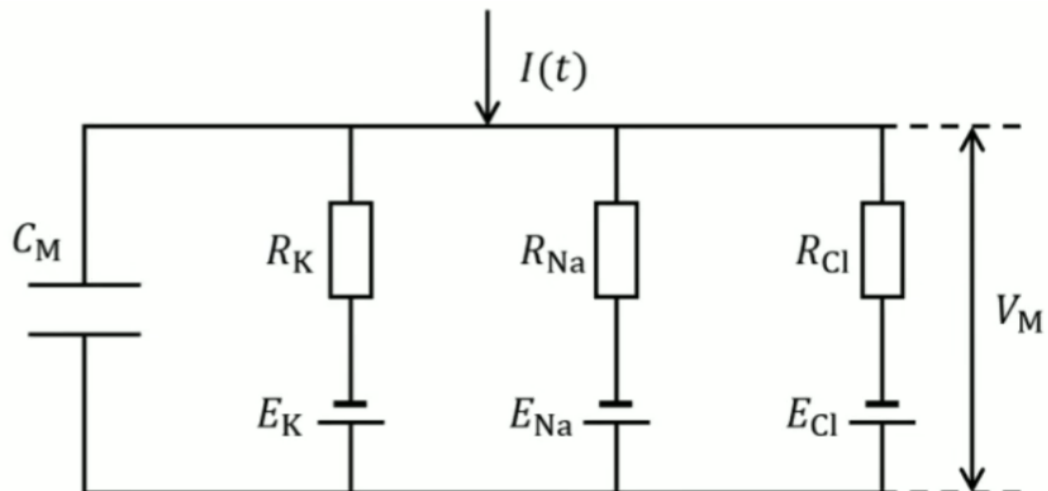
等效电路

- 化学浓度梯度产生的电势差→电源 E_k
- 磷脂双分子层→电容 c_M
- 离子通道的开放程度→电阻 R_k
- 膜内外的电势差→ V_m



- 基于基尔霍夫电流定律（流入电流与流出电流大小相等，方向相反）

- 一种离子通道，无外界电流
 - 流过电容的电流=流过电阻的电流
 - $c_m \frac{dV_m}{dt} = \frac{E_K - V_M}{R_K} = g(E_K - V_M)$
- 多种离子通道，存在随着时间变化的外界电流 $I(t)$
-

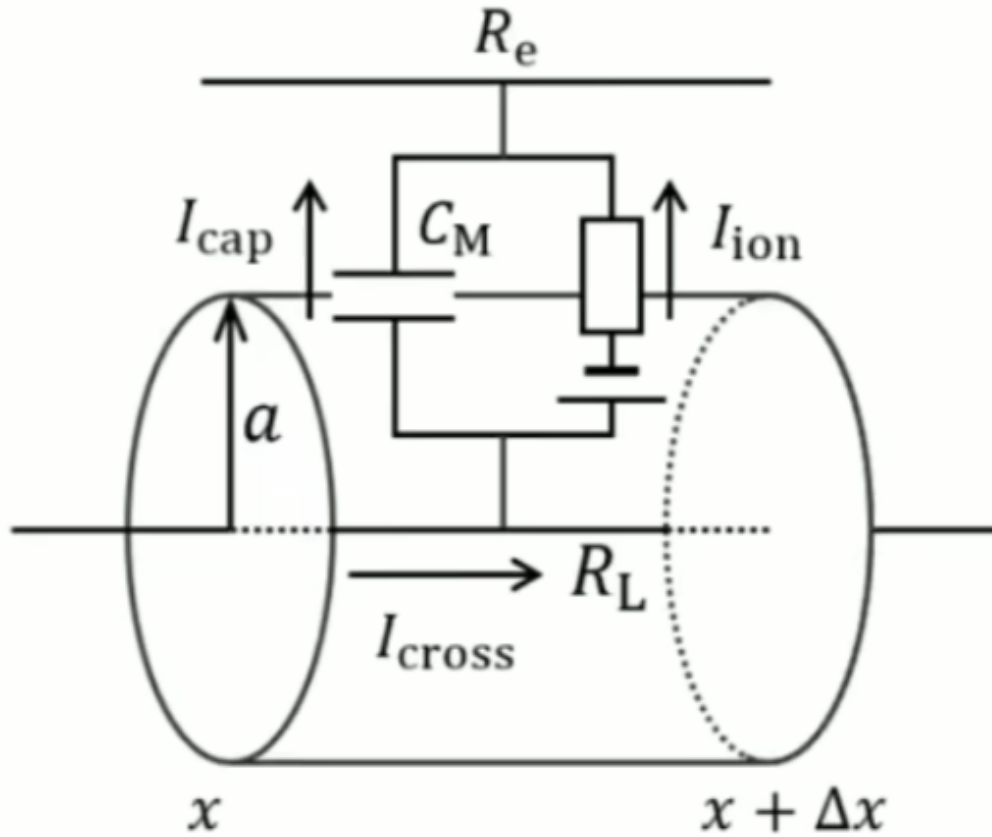


- $\frac{I(t)}{A} = c_M \frac{dV_M}{dt} + i_{ion}$
- $c_M \frac{dV_M}{dt} = -g_{Cl}(V_m - E_{Cl}) - g_K(V_m - E_K) - g_{Na}(V_M - E_{Na}) + \frac{I(t)}{A}$
- 若为静息状态，则通过细胞膜的净电流为0，即 $\frac{dV_M}{dt} = 0$
- 则静息电位 $V_{ss} = \frac{g_{Cl}E_{Cl} + g_K E_K + g_{Na} E_{Na} + I/A}{g_{Cl} + g_K + g_{Na}}$

电缆方程

- 解决的问题
 - 电信号是如何在轴突内传输的
- 假设
 - 轴突足够长并且轴突为一个圆柱形
- 模型构建
 - I_{cap} : 通过磷脂双分子层泄露的电流

- I_{ion} : 通过离子通道泄露的电流
- I_{cross} : 横向传递的电流



- 分析
 - 基于基尔霍夫定理
 - $I_{cross}(x, t) = I_{cross}(x + \Delta x, t) + I_{ion}(x, t) + I_{cap}(x, t)$
 - $I_{cross}(x, t) = \frac{V(x, t) - V(x + \Delta x)}{R_L} = \frac{V(x, t) - V(x + \Delta x)}{\frac{\Delta x}{\pi a^2} \rho_L} = -\frac{\pi a^2}{\rho_L} \frac{\partial V(x, t)}{\partial x}$
 - $I_{ion} = (2\pi a \Delta x) i_{ion}$
 - $I_{cap}(x, t) = (2\pi a \Delta x) c_M \frac{\partial V(x, t)}{\partial t}$
 - 代入, 得电缆方程 $c_M \frac{\partial V(x, t)}{\partial t} = \frac{a}{2\rho_L} \frac{\partial^2 V(x, t)}{\partial x^2} - i_{ion}$

被动传导

- 假设离子通道的电导恒定 (被动传输), 单位面积的离子通道的电导为 $\frac{1}{r_M}$, 则 $i_{ion} = \frac{V(x, t)}{r_M}$
- 则电缆方程为 $c_M \frac{\partial V(x, t)}{\partial t} = \frac{a}{2\rho_L} \frac{\partial^2 V(x, t)}{\partial x^2} - \frac{V(x, t)}{r_M}$
- 即为 $r_M C_M \frac{\partial V(x, t)}{\partial t} = \frac{a r_M}{2\rho_L} \frac{\partial^2 V(x, t)}{\partial x^2} - V(x, t)$
- 即为 $\tau \frac{\partial V(x, t)}{\partial t} = \lambda^2 \frac{\partial^2 V(x, t)}{\partial x^2} - V(x, t)$
- 在 $x = 0$ 处输入电流 I_0 , 则 $\lambda^2 \frac{\partial^2 V(x, t)}{\partial x^2} - V(x, t) = 0$

- $V(x) = \frac{\lambda \rho_L}{\pi a^2} I_0 e^{-\frac{x}{\lambda}}$

动作电位

- $C_M \frac{dV_M}{dt} = -g_{Cl}(V)(V_m - E_{Cl}) - g_K(V)(V_m - E_K) - g_{Na}(V)(V_M - E_{Na}) + \frac{I(t)}{A}$
- 离子通道的电导 $g_m = \bar{g}_m m^x$ (所有门控都开启的电导率 \times 门控开启的概率 x)
- $\frac{dm}{dt} = \alpha(V)(1 - m) - \beta(V)m = \frac{\frac{\alpha(V)}{\alpha(V)+\beta(V)} - m}{\frac{1}{\alpha(V)+\beta(V)}} = \frac{m_\infty(V) - m}{\tau_m(V)}$
- 当V是常数时, $m(t) = m_\infty(V) + (m_o - m_\infty(V))e^{-\frac{t}{\tau_m(V)}}$
- $\lim_{t \rightarrow 0} m(t) = m_o, \lim_{t \rightarrow \infty} m(t) = m_\infty$
- 电压钳技术
 - $C_M \frac{dV_M}{dt} = 0$
 - $g_L(V)(V_m - E_L) + g_K(V)(V_m - E_K) + g_{Na}(V)(V_M - E_{Na}) = i_{ion}$
 - 将膜电位钳在非常负的情况, 此时电压门控离子通道关闭, 只有泄露通道打开, 此时就可以计算 $g_L(V)$
 - 计算出 $g_L(V)$ 后, 使用化学小分子堵塞一种电压门控离子通道, 计算电压门控离子通道的电导
- 计算出电导后, 带入到方程中拟合 m_∞, τ_m, x
 - $g_K = \bar{g}_K n^x$
 - $\frac{dn}{dt} = \alpha_n(V)(1 - n) - \beta_n(V)n = \frac{\frac{\alpha_n(V)}{\alpha_n(V)+\beta_n(V)} - n}{\frac{1}{\alpha_n(V)+\beta_n(V)}} = \frac{n_\infty(V) - n}{\tau_n(V)}$
 - $n(t) = n_\infty(V) + (n_o - n_\infty(V))e^{-\frac{t}{\tau_n(V)}}$
 - $g_K = \bar{g}_K (n_\infty(V) + (n_o - n_\infty(V))e^{-\frac{t}{\tau_n(V)}})^x = (\bar{g}_K^{\frac{1}{x}} n_\infty(V) + (\bar{g}_K^{\frac{1}{x}} n_o - \bar{g}_K^{\frac{1}{x}} n_\infty(V))e^{-\frac{t}{\tau_n(V)}})^x$
 - 令 $g_{K\infty} = \bar{g}_K n_\infty^x, g_{K0} = \bar{g}_K n_o^x$
 - $g_K = [g_{K\infty}^{\frac{1}{x}} - (g_{K\infty}^{\frac{1}{x}} - g_{K0}^{\frac{1}{x}})e^{-\frac{t}{\tau_n(V)}}]^x$
 - 拟合得到 $g_{K\infty}, \tau_n(V)$, 解出 $n_\infty^x = \frac{g_{K\infty}}{g_K}$, 最后解出 $\alpha_n(V), \beta_n(V)$
 - 对于钠离子而言, 同时存在激活门控 m 和失活门控 $h, g_{Na} = \bar{g}_{Na} m^3 h$
 - $\frac{dm}{dt} = \alpha_m(V)(1 - m) - \beta_m(V)m = \frac{\frac{\alpha_m(V)}{\alpha_m(V)+\beta_m(V)} - m}{\frac{1}{\alpha_m(V)+\beta_m(V)}} = \frac{m_\infty(V) - m}{\tau_m(V)}$
 - $m(t) = m_\infty(V) + (m_o - m_\infty(V))e^{-\frac{t}{\tau_m(V)}}$
 - $\frac{dh}{dt} = \alpha_h(V)(1 - h) - \beta_h(V)h$
 - $h(t) = h_\infty(V) + (h_o - h_\infty(V))e^{-\frac{t}{\tau_h(V)}}$

HH模型

- 郎飞氏结之间的信号传递是被动传导过程, 郎飞氏结内的信号传导是动作电位发放

$$\begin{aligned}
& \bullet \left\{ \begin{aligned} c \frac{dV}{dt} &= -\bar{g}_{Na} m^3 h (V - E_{Na}) - \bar{g}_K n^4 (V - E_K) - \bar{g}_L (V - E_L) + I_{ext} \\ \frac{dn}{dt} &= \phi [\alpha_n(V)(1 - n) - \beta_n(V)n] \\ \frac{dm}{dt} &= \phi [\alpha_m(V)(1 - m) - \beta_m(V)m] \\ \frac{dh}{dt} &= \phi [\alpha_h(V)(1 - h) - \beta_h(V)h] \end{aligned} \right. \\
& \bullet \alpha_n(V) = \frac{0.01(V+55)}{1 - \exp(-\frac{V+55}{10})}, \beta_n(V) = 0.125 \exp(-\frac{V+65}{80}) \\
& \bullet \alpha_h(V) = 0.07 \exp(-\frac{V+65}{20}), \beta_h(V) = \frac{1}{\exp(-\frac{V+35}{10}) + 1} \\
& \bullet \alpha_m(V) = \frac{0.1(V+40)}{1 - \exp(-\frac{V+40}{10})}, \beta_m(V) = 4 \exp(-\frac{V+65}{18}) \\
& \bullet \text{温度常数, } \phi = Q_{10}^{\frac{T - T_{base}}{10}}
\end{aligned}$$